

POINTS ET COMPATIBILITÉS AUX LIMITES DU SETE RÉEL-ÉTALE

Prop. $\tau \in \{ét, vét, b\}$, $f: X \rightarrow Y$ quasi-compact entre schémas quasi-séparés. Alors:

- pour chaque $(U \rightarrow X) \in \mathcal{E}t'_{qc/X}$, le foncteurs $\Gamma(U, -): \tilde{X}_\tau \rightarrow \text{Set}$ et $H_\tau^n(U, -): \text{Ab}(X_\tau) \rightarrow \text{Ab}$ commutent aux limites inductives filtrantes;
- le foncteurs $(f_\tau)_*: \tilde{X}_\tau \rightarrow \tilde{Y}_\tau$ et $R^n(f_\tau)_*: \text{Ab}(X_\tau) \rightarrow \text{Ab}(Y_\tau)$ commutent aux limites filtrantes.

$\mathcal{E}t_{/X} := \{Y \rightarrow X \text{ étale}\}$ *Idée: se ramener à la cohomologie de Čech.*

$\mathcal{E}t'_{/X} := \{Y \rightarrow X \text{ étale, qcqs}\} = \{Y \rightarrow X \text{ étale, prés fini}\}$

$\mathcal{E}t'_{qc/X} := \{Y \rightarrow X \text{ étale, qcqs, } Y \text{ qc}\}$

$\mathcal{E}t'_{aff/X} := \{Y \rightarrow X \text{ étale, } Y \text{ affine}\}$

Preuve l'objet $\varepsilon_\tau(U) \in \tilde{X}_\tau$ est cohérent, et $a_\tau(h_U)$

\tilde{X}_τ algébrique \Rightarrow la prop. est vraie, par des résultats généraux de finitude dans le temps.
 \tilde{Y}_τ algébriques

Déf Soit \mathcal{S} un site. Alors:

(a) $X \in \mathcal{S}$ est qc si $\forall (X_i \rightarrow X)_{i \in I}$ famille couvrante, $\exists J \subseteq I$ fini t.q. $(X_j \rightarrow X)_{j \in J}$ est couvrante;

(b) $(X \rightarrow Y) \in \mathcal{S}$ est qc si $\forall Z \rightarrow Y$, où Z est qc $\Rightarrow X \times_Y Z$ est qc

(c) $(X \rightarrow Y) \in \mathcal{S}$ est qs si $X \rightarrow X \times_Y X$ est qc

(d) $X \in \mathcal{S}$ est qs si $\forall Y \rightarrow X \leftarrow Z$, où Y, Z sont qc, alors $Y \times_X Z$ est qc

(e) un morphisme ou un objet de \mathcal{S} sont cohérent s'ils sont à la fois qc et qs.

Rueq. Si \mathcal{T} est un topos $\Rightarrow \mathcal{T}$ est un site avec la topologie canonique.

Déf Si \mathcal{T} est un topos. Alors:

(a) \mathcal{T} est localement cohérent s'il existe une sous-cat. pleine, génératrice $\mathcal{C} \subseteq \mathcal{T}$, dont les objets sont quasi-compactes, t.q. \mathcal{C} est stable par produits fibrés.

(b) algébrique s'il existe $\mathcal{C} \subseteq \mathcal{T}$ pleine, gén. t.q. $\forall C \in \mathcal{C}$, C cohérent, et le produit de deux objets qs de \mathcal{T} est qs.

(c) cohérent si \mathcal{T} est alg. et l'objet final de \mathcal{T} est coh.

Lemme X schéma, $\tau \in \{\text{ét}, \text{vét}, \text{b}\}$. Alors:

(a) les cat. $\text{Ét}_X, \text{Ét}'_X, \text{Ét}'_{qc}/X, \text{Ét}_{\text{off}}/X$ sont stables par produits fibrés;

(b) le morphisme de sites $X_\tau \rightarrow (\text{Ét}_{\text{off}}/X, \tau)$ induit une équivalence entre les topos correspondants. En outre, le topos \hat{X}_τ est algébrique, et $\forall U \in \text{Ét}_{\text{off}}/X$, l'objet $\varepsilon_\tau(U) \in \hat{X}_\tau$ est cohérent.

(c) si X est qc, alors $X_\tau \rightarrow (\text{Ét}'_X, \tau) \rightarrow (\text{Ét}'_{qc}/X, \tau)$ sont des équivalences. Et, le topos \hat{X}_τ est qc, et $\forall U \in (\text{Ét}'_{qc}/X)$, l'objet $\varepsilon_\tau(U) \in \hat{X}_\tau$ est cohérent.

(d) si X est qc qs, alors \hat{X}_τ est cohérent.

Lemme S schéma, I cat. filtrante, $X: I^{\text{op}} \rightarrow \text{Sch}_S$

t.q. $\forall i \rightarrow j \in \text{Ar}(I)$, le morphisme $X_j \rightarrow X_i$ soit affine. Alors, $X_\infty := \varprojlim_{i \in I^{\text{op}}} X_i$ existe dans Sch_S , et les proj. $p_i: X_\infty \rightarrow X_i$ sont affines.

Preuve [EGA IV, VIII].

Thm $\tau \in \{\text{ét}, \text{vét}, \text{b}\}^S, I, X: I^{\text{op}} \rightarrow \text{Sch}_S, X_j \rightarrow X_i$ affines, $\forall i \in I, X_i$ qc qs. Posons $f_i: X_i \rightarrow S$, $X_\infty := \varprojlim_{i \in I^{\text{op}}} X_i, f_\infty: X_\infty \rightarrow S$.

(a) $\forall F \in (\mathbb{X}_\infty)_\tau$, le morphisme canonique:

$$\lim_{\substack{\longrightarrow \\ i \in I}} (P_{i,\tau}^*) (P_{i,\tau})_* F \rightarrow F$$

est un iso, et $\forall A \in \text{Ab}((\mathbb{X}_\infty)_\tau)$, $\forall n \geq 1$,

$$\lim_{\substack{\longrightarrow \\ i \in I}} H_\tau^n(X_i, (P_{i,\tau})_* A) \rightarrow H_\tau^n(X_\infty, A)$$

(b) $\forall F \in \mathbb{S}_\tau$, l'application canonique:

$$\lim_{\substack{\longrightarrow \\ i \in I}} f_{i,\tau}^*(F)(X_i) \rightarrow \int_{\mathbb{X}_\infty, \tau}^*(F)(X_\infty)$$

est un iso, et $\forall A \in \text{Ab}(\mathbb{S}_\tau)$, $\forall n \geq 1$,
les applic. canoniques:

$$\lim_{\substack{\longrightarrow \\ i \in I}} H_\tau^n(X_i, \int_{i,\tau}^* A) \rightarrow H_\tau^n(X_\infty, \int_{\mathbb{X}_\infty, \tau}^* A)$$

est un iso.

Preuve $\gamma := \text{Ar}(\bar{E} \bar{t}) \quad (\alpha \rightarrow \gamma) \rightarrow \gamma$
 $\pi: \gamma \rightarrow \text{Sch}$
 est une fibration, et $\gamma \xrightarrow{\bar{t}} \text{Sch}$ est un site
 fibré, i.e. $\forall X \in \text{Sch}$, $\gamma_X \simeq (\bar{E} \bar{t} / X, \tau)$

$$\begin{array}{ccc}
 \mathcal{G}_X \xrightarrow{\quad} \mathcal{G} & & \mathcal{G}_X := \text{lia}(\mathcal{G}_X \xrightarrow{\text{op}} \mathbb{I}^{\text{op}}) \\
 \downarrow & & \downarrow \tau \\
 \mathbb{I}^{\text{op}} \xrightarrow{X} \text{Sch}_S \rightarrow \text{Sch} & & \leftarrow \text{(inverse les morphismes)} \\
 & & \text{cartésiens}
 \end{array}$$

$$\Rightarrow \mathcal{G}_X \xrightarrow{\quad} \mathcal{G}_{X_\infty} \text{ est une équiv. de} \\
 \leftarrow \text{cats. (comp. de} \\
 \text{EGA 4, \underline{VII})}$$

En fait, c'est une équivalence de sites, si
 on met sur \mathcal{G}_X la top. la plus gross. telle
 que le foncteur $\mathcal{G}_X \rightarrow \mathcal{G}_X$ soit continu,
 ou \mathcal{G}_X a la topologie totale (i.e. la
 topologie la plus fine telle que $\forall i \in I,$
 $\mathcal{G}_{X_i} \hookrightarrow \mathcal{G}_X$ rest continues).

Pour montrer que $\mathcal{G}_X \rightarrow \mathcal{G}_{X_\infty}$ est une
 eq. de sites par $\tau \in \text{vot, bly}$, il faut
 montrer que: $\forall i \in I, \exists j: V_i \rightarrow U_i \in \mathcal{G}_{X_i}$
 t.q. $V_i \times_{X_i} X_\infty \rightarrow U_i \times_{X_i} X_\infty$
 est τ -cov. , alors $\exists (j \rightarrow i) \in \mathbb{I}^{\text{op}}$ t.q.
 $V_i \times_{X_i} X_j \rightarrow U_i \times_{X_i} X_j$ est τ -cov.

Pour montrer cela, Schneider utilise le th.
de cont. de Chevalley. On particulier,
 $V_i \times_{x_i} X_\infty \rightarrow U_i \times_{x_i} X_\infty$ est (v) et (w).

$$\Rightarrow (U_i (U_i \setminus f_i(V_i)) \cap P_i(X_\infty))_r = \emptyset$$

Par Chevalley, $U_i (U_i \setminus f_i(V_i))$ est constructible

$$\Rightarrow \exists \alpha: i \rightarrow j \in I \text{ t. q. } (U_i (U_i \setminus f_i(V_i)) \cap P_\alpha(x_j))_r = \emptyset.$$

\Rightarrow l'assertion pour $\tau \in \{v, t, e, t\}$

$\Rightarrow \tau = b$ par récurrence. \square

Voisinage étale

Def X schéma, \bar{k} corps $\alpha: \text{Spec}(\bar{k}) \rightarrow X$ point de X .

Un voisinage étale de α est une factorisation

$$\alpha: \text{Spec}(\bar{k}) \rightarrow X$$

$$\downarrow \cup \nearrow \text{ét}$$

$\text{Nb}_{\text{ét}}(\alpha)$: cat. des voisinages étales de α

$\Rightarrow \text{Nb}_{\text{ét}}(\alpha)^{\text{op}}$ est filtrée, est

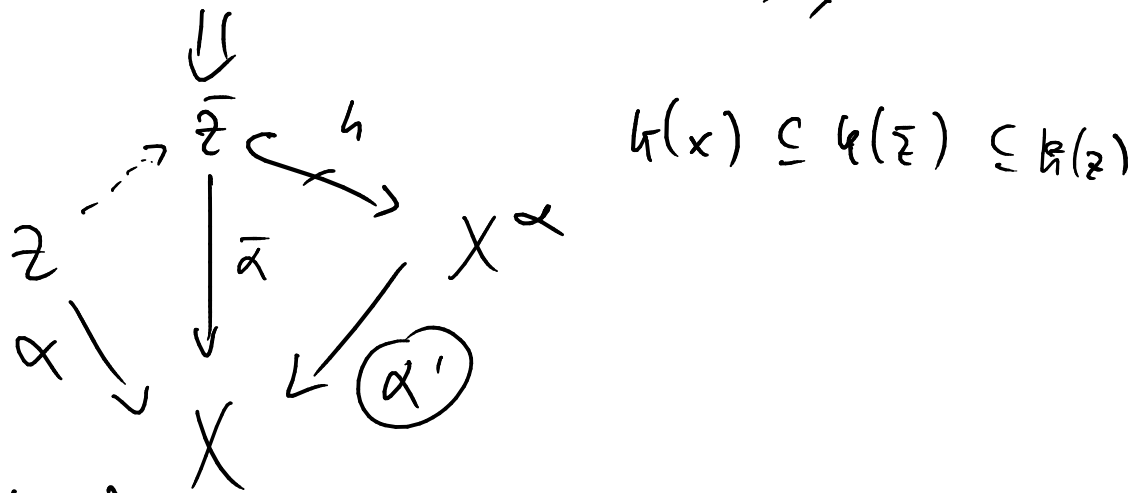
les voisinages étales $U \rightarrow X$ t. q. U affine

forment une cat. finale dans $\text{Nb}_{\text{ét}}(\alpha)^{\text{op}}$

Lemme $X, \alpha: \text{Spec}(\bar{k}) \rightarrow X$, $\mathcal{O}_{X, \alpha}^{\text{ét}} := \varinjlim_{U \in \text{Nb}_{\text{ét}}(\alpha)} \mathcal{O}_U(U)$

$$\Rightarrow \varprojlim_{U \in \text{Nb}_{\text{ét}}(\alpha)} U = \text{Spec}(\mathcal{O}_{X, \alpha}^{\text{ét}}) =: X^\alpha$$

Prop. k corps, $Z := \text{Spec}(k)$, $x := \alpha(Z)$,



Ex. $X = \text{Spec}(L)$, $\alpha: \text{Spec}(k) \rightarrow \text{Spec}(L)$,

$$L \subseteq_{\bar{Z}} M \subseteq k$$

Prop. X schéma, k corps, $\alpha: \text{Spec}(k) \rightarrow X$, $F \in \tilde{X}_{\alpha}$.

$$(\alpha^* F)(Z) := \varinjlim_{U \in \text{Nb}_{\alpha}(\alpha)^{\text{op}}} F(U) \xrightarrow{\sim} ((\alpha')^* F)(X^\alpha)$$

$\downarrow \cong$
théorème $(\bar{\alpha}^* F)(\bar{Z})$
 $\downarrow \cong$
 $(\alpha^* F)(Z)$

CGA 4, VIII, §. 6
(+)

$\Sigma_i A \in \text{Ab}(X_{\alpha^+})$, $n \in \mathbb{N}$.

$$\varinjlim_{U \in \text{Nb}_{\alpha}(\alpha)^{\text{op}}} H_{\text{ét}}^n(U, A|_U) \xrightarrow{\sim} H_{\text{ét}}^n(X^\alpha, (\alpha')^* A)$$

$$\xrightarrow{\sim} H_{\text{ét}}^n(\bar{Z}, \bar{\alpha}^* A)$$

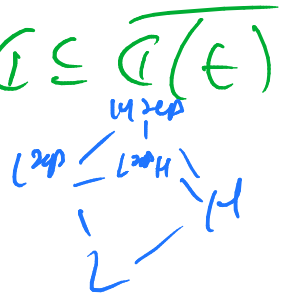
iso
si k est réel ou
exp. clos.

$$\xrightarrow{\sim} H_{\text{ét}}^n(Z, \alpha^* A)$$

$$(\bar{\alpha}^* F)(\bar{z}) \simeq (\alpha^* F)(z)$$

$$z \rightarrow \bar{z} \text{ sur } k(\bar{z}) \subseteq k(z)$$

Ex. $\mathbb{Q} \subseteq \mathbb{Q}(\epsilon)$



$$\text{Gal}(H^{\text{sep}}/H) \longrightarrow \text{Gal}(L^{\text{sep}}/L)$$

$$\downarrow \qquad \qquad \qquad \uparrow \sigma$$

$$\text{Gal}(L^{\text{sep}}H/H) \xrightarrow{\simeq} \text{Gal}(L^{\text{sep}}/L^{\text{sep}}H)$$

Points des sites étale, réel-étale et cojoint

Def \mathcal{T} topoi $\Rightarrow \text{pt}(\mathcal{T}) = \{ p = (p^*, p_*) : \text{Set} \rightarrow \mathcal{T} \}$.

Si $F \in \mathcal{T}$, la fibre de F au dessus d'un point $p \in \text{pt}(\mathcal{T})$, et $F_p := p^*(F) \in \text{Set}$.

Def X schéma. Un point géométrique de X est un morphisme des schémas $\alpha : \text{Spec}(k) \rightarrow X$, où k est sp. clos. On note $\text{pt}_{\text{géom}}(X)$ l'ens. des points géom, ordonné par spécialisation.

Thm (Grothendieck, SGA4. VIII, 7.9) \forall schéma X ,

$$\text{pt}_{\text{géom}}(X) \longrightarrow \text{pt}(X_{\text{ét}})$$

$$\alpha : z \rightarrow X \mapsto p_\alpha = (p_\alpha^*, (p_\alpha)_*)$$

où $(p_\alpha^*)(F) := \alpha_\sigma^*(F)(z)$, $\forall F \in \tilde{X}_{\text{ét}}$.

Plus \forall zéro X , on a une équivalence de cat.

$$\left(\underbrace{X_r, \mathcal{O}}_{\substack{\text{espace réel} \\ \text{associé à } X}} \right) \rightarrow \text{pt}(\tilde{X}_{\text{réel}}), \text{ et:}$$

espace réel associé à X spec.

$\forall F \in \tilde{X}_{\text{réel}}, \forall \alpha: \text{Spec}(k) \rightarrow X$, on a

$$(pF)_{p\alpha} = (\alpha^* F)(x_{\text{ét}}) \quad p := i^* j_*$$

$$X_{\text{ét}} \xrightarrow{j} X_b \xleftarrow{i} X_{\text{réel}}$$

Preuve $\tilde{X}_{\text{réel}} \cong X_r$

Cor. $p: X_{\text{ét}} \rightarrow \tilde{X}_{\text{réel}}$ et $j_*: X_{\text{ét}} \rightarrow \tilde{X}_b$ préservent

les coproduites arbitraires, et leurs analogues $p: \text{Ab}(X_{\text{ét}}) \rightarrow \text{Ab}(\tilde{X}_{\text{réel}})$, $j_*: \text{Ab}(X_{\text{ét}}) \rightarrow \text{Ab}(\tilde{X}_b)$ préservent les \oplus arbitraires.

Def (a) $\alpha: \text{Spec}(k) \rightarrow X$ est un point réel géom. si k est réel clos.

(b) $\alpha: \text{Spec}(k) \rightarrow X$ réel géométrique, la loc. réelle stricte de X en α est

$$X^\alpha = \varprojlim_{U \in \mathcal{N}_{\text{ét}}(\alpha)} U = \text{Spec}(\mathcal{O}_{X, \alpha}^{\text{ét}})$$

où $\mathcal{O}_{X, \alpha}^{\text{ét}}$ est l'anneau réel local de X en α .
 (c) $X = \text{Spec}(A)$, $\xi \in \text{Spec}(A) \Rightarrow A_\xi := \mathcal{O}_{X, \alpha}^{\text{ét}}$ en ξ .
 (red) $\alpha: \text{Spec}(k) \rightarrow X$ localisation réelle stricte de X en α .

Cor. A au lieu, $\gamma, \xi \in \text{Spec}(A)$. Alors:

$$\text{Hom}(A_\gamma, A_\xi) = \begin{cases} * & \gamma \leq \xi \\ \emptyset & \text{sinon} \end{cases}$$

Site conjoint

$$\text{pt}(\tilde{X}_{\text{ét}}) \rightarrow \text{pt}(\tilde{X}_b) \leftarrow \text{pt}(\tilde{X}_{\text{rét}})$$

Thm X schéma, $P_\xi \in \text{pt}(\tilde{X}_b)$ réel, $P_\gamma \in \text{pt}(\tilde{X}_b)$ cible, représentés par deux points $\xi: x \rightarrow X$,

$\gamma: y \rightarrow X$, alors: $\text{Hom}_{\text{pt}(\tilde{X}_b)}(P_\xi, P_\gamma) = \emptyset$,

$$\text{et } \text{Hom}_{\text{pt}(\tilde{X}_b)}(P_\gamma, P_\xi) = \text{Hom}_X(X^\gamma, X^\xi) =$$

$$= \text{Hom}_X(y, X^\xi).$$

Propriétés des foncteurs de recollement

Prop. $f: X \rightarrow Y$ morphisme de schémas, alors:

$$\textcircled{1} \quad \begin{array}{ccccc} X_{\text{ét}} & \hookrightarrow & X_b & \hookrightarrow & X_{\text{rét}} \\ \downarrow \text{ét} & & \downarrow \text{ét} & & \downarrow \text{rét} \\ Y_{\text{ét}} & \hookrightarrow & Y_b & \hookrightarrow & Y_{\text{rét}} \end{array} \quad \textcircled{2} \quad \begin{array}{ccccc} \tilde{X}_b & \xrightarrow{j_*} & \tilde{X}_{\text{ét}} & \xrightarrow{j_*} & \tilde{X}_b \\ \downarrow \text{ét} & & \downarrow \text{ét} & & \downarrow \text{ét} \\ \tilde{Y}_b & \xrightarrow{j_*} & \tilde{Y}_{\text{ét}} & \xrightarrow{j_*} & \tilde{Y}_b \end{array}$$

$$\textcircled{2} \quad \begin{array}{ccccccc} \tilde{Y}_{\text{ét}} & \xrightarrow{p} & \tilde{Y}_{\text{rét}} & \xrightarrow{\tilde{c}_*} & \tilde{Y}_b & \xleftarrow{j_*} & \tilde{Y}_{\text{ét}} & \xrightarrow{j_*} & \tilde{Y}_b \\ \downarrow \text{ét} & \parallel & \downarrow \text{ét} & \llcorner & \downarrow \text{ét} & \llcorner & \downarrow \text{ét} & \parallel & \downarrow \text{ét} \\ \tilde{X}_{\text{ét}} & \xrightarrow{p} & \tilde{X}_{\text{rét}} & \xrightarrow{\tilde{c}_*} & \tilde{X}_b & \xleftarrow{j_*} & \tilde{X}_{\text{ét}} & \xrightarrow{j_*} & \tilde{X}_b \end{array}$$

④ Si f est itale, alors $\tilde{X}_b \xrightarrow{j^*} \tilde{X}_{\sigma^*}$

$$\begin{array}{ccc} \tilde{X}_b & \xrightarrow{j^*} & \tilde{X}_{\sigma^*} \\ \downarrow \text{ob.} & \simeq & \downarrow \\ \tilde{Y}_b & \xrightarrow{j^*} & \tilde{Y}_{\sigma^*} \end{array}$$

Prop. $f: X \rightarrow Y$ fini
 $\tau \in \{\text{ét, \acute{e}t, b}\} : \text{Ab}(X_\tau) \rightarrow \text{Ab}(Y_\tau)$
 est exact.